

# 論文 反応性骨材含有コンクリートに及ぼす NaOH, NaCl, Na<sub>2</sub>SO<sub>4</sub> 溶液の影響

岩月 栄治<sup>\*1</sup>・森野 奎二<sup>\*2</sup>・皿井 剛典<sup>\*3</sup>

**要旨:**アルカリシリカ反応性のチャート骨材と膨張を起こすモデル物質を用いたコンクリート角柱供試体を各種溶液に500日間浸漬貯蔵した。測定は、膨張率、超音波伝播速度、ひび割れ観察および供試体内部のX線回折を行い、浸漬溶液の及ぼす影響を検討した。結果では、浸漬溶液の種類によって膨張の開始時期や膨張率が異なり、超音波伝播速度では膨張の増加時期よりも超音波速度の減少時期が遅れて現れることなどを示した。

**キーワード:**アルカリシリカ反応、コンクリート供試体、チャート、NaOH、NaCl、Na<sub>2</sub>SO<sub>4</sub>

## 1.はじめに

アルカリシリカ反応(以下ASRと称す)を起こす骨材を含んだコンクリート構造物は、外部から浸入するNaClやNa<sub>2</sub>SO<sub>4</sub>等によって反応が助長される場合がある。たとえば、NaClは寒冷地の道路に融雪剤として散布される機会が増しており、対象地域での調査事例<sup>①</sup>も報告されている。その他、海岸付近では海水や海水飛沫の影響も知られている。

本研究は、反応性骨材や膨張性物質を混入したコンクリート角柱供試体を、NaOH、NaCl、Na<sub>2</sub>SO<sub>4</sub>溶液等に浸漬貯蔵し、膨張特性やひび割れ状況、内部の微細な変化について検討した。また、浸漬溶液に対する膨張抑制効果についても高炉水砕スラグ粉末(以下高炉スラグと称す)を用いて検討した。

## 2. 実験方法

### 2.1 使用した骨材および膨張性物質

実験に使用した骨材および膨張性物質の性質を表-1に示す。チャートは岐阜県の中・古世層の岩盤から採取した碎石であり、化学

法では「無害でない」に判定される。また砂岩碎石と珪砂は粗骨材、細骨材に使用した。これらは化学法では「無害である」に判定される。膨張性物質の水ガラスカレット3号(以下カレットと称す)は膨張を起こすモデル材料<sup>②</sup>として用い、無害骨材に一定量を混入した。

### 2.2 各種溶液に浸漬したコンクリート角柱供試体

コンクリートの配合を表-2に示す。細・粗骨材の使用組合せは、粗骨材にチャート、細骨材に珪砂を用いたものと、粗骨材に砂岩碎石、細骨材に珪砂、カレットを骨材質量の0.5%混入(内割り)したものの2種類とした。セメントは普通ポルトランドセメント(Na<sub>2</sub>O等量0.60%)を使用し、NaOHを添加してNa<sub>2</sub>O等量で3, 6, 9kg/m<sup>3</sup>に調整した。高炉スラグの混入量はセメント質量の50%(内割り)とし、セメントの減少によるアルカリの減少分はNaOHで補正した。減水剤

表-1 使用した骨材および膨張性物質の性質

骨材及び膨張性物質		化学法の結果				特徴等
		Sc mmol/l	Rc mmol/l	Sc/Rc	判定	
粗骨材	チャート	309	196	1.6	無害でない	岐阜県産の碎石。偏光顕微鏡では球顆状・脈状の玉髓と滑晶質石英からなる。Ca=5.6
	砂岩	60	79	0.8	無害である	愛知県産の碎石。偏光顕微鏡では石英、長石、雲母からなり微量の硫化鉄を含む。
細骨材	珪砂	36	43	0.8	無害である	愛知県産。偏光顕微鏡では石英、長石からなる。
膨張性物質	水ガラスカレット3号	-	-	-	-	水ガラスの加水前の塊状物を破碎して粒状化したもの。化学組成はNa <sub>2</sub> O·3.2SiO <sub>2</sub>

\*1 愛知工業大学講師 工学部土木工学科 工修 (正会員)

\*2 愛知工業大学教授 工学部土木工学科 理博 (正会員)

\*3 愛知工業大学大学院 建設システム工学専攻

表-2 コンクリート角柱供試体の配合

コンクリートに使用した 細・粗骨材等の組合せ			粗骨材の 最大寸法 (mm)	水セメント 比 W/C(%)	細骨 材率 s/a(%)	単位量 (kg/m <sup>3</sup> )					
粗骨材	細骨材	膨張性物質				水	セメント	細骨材	粗骨材	カレット	混和剤
チャート	珪砂	-	25	51.3	41.0	154	300	761	1091	-	4.5
砂 岩	珪砂	カレット	25	51.3	41.0	154	300	757	1106	9.4	4.5

表-3 コンクリート角柱供試体の貯蔵方法

粗骨材	細骨材	水ガラスカ レット(膨 張 性 物 質) の 混 入 量 %	コンクリー ト内部の アルカリ 量 kg/m <sup>3</sup>	添加ア ルカリ の種類	貯 蔵 環 境			
					脱型後7日迄		脱型後7日以降	
					貯 蔵 方 法	貯 蔵 場 所	貯 蔵 方 法	貯 蔵 場 所
チャート	珪砂	-	3 6 9	NaOH	湿潤貯蔵 40°C 恒温室内	40°C 恒温室内	湿潤貯蔵	40°C 恒温室内
							水道水	
							人工海水	
砂 岩	珪砂	骨材質量の 0.5%(内割り)	3		浸漬貯蔵 実験室内 (10~30°C)		1mol/l NaOH溶液	実験室内 (10~30°C)
							1mol/l NaCl溶液	
							1mol/l KOH溶液	
							1mol/l CaCl <sub>2</sub> 溶液	
							1mol/l Na <sub>2</sub> SO <sub>4</sub> 溶液	
							1mol/l MgSO <sub>4</sub> 溶液	

表-4 人工海水の成分

人工海水10kg作成するのに使用した各成分(g)							
水	NaCl	MgCl <sub>2</sub>	Na <sub>2</sub> SO <sub>4</sub>	CaCl <sub>2</sub>	KCl	NaHCO <sub>3</sub>	KBr
9556	235	50	39	10	7	2	1

は高性能 AE 減水剤(主成分: ポリアルキルアリルスルホン酸)を用いた。供試体寸法は 10×10×40cm とした。貯蔵方法は表-3 に示すように 7 日までは 40°C の湿潤貯蔵とし、7 日以後は湿潤貯蔵の他に NaOH, KOH, NaCl, CaCl<sub>2</sub>, Na<sub>2</sub>SO<sub>4</sub>, MgSO<sub>4</sub> の 1mol/l 水溶液と水道水、人工海水(表-4)に浸漬した。浸漬貯蔵は図-1 に示すように供試体が完全に浸漬溶液に浸かるようにした。貯蔵場所は、チャート使用の角柱は 40°C の恒温室内に、カレット使用の角柱は実験室内(10~30°C)とした。測定は膨張率と超音波伝播速度およびひび割れ観察を行った。超音波伝播速度の測定は、市販のデジタル式測定器を使用(振動子周波数: 50kHz)し、縦波速度を 3 本の供試体の内 2 本を用いて、1 本につき 4ヶ所の測定を行って平均した。また、貯蔵約 500 日で供試体表面から深さ 1cm 付近のペースト部分を採取して X 線回折を行った。

### 3. 結果および考察

#### 3.1 各種種溶液に浸漬したチャート使用

##### コンクリート角柱供試体の膨張挙動

図-2 に各種溶液に浸漬したチャートを使用したコンクリート角柱の膨張挙動を、図-3 に

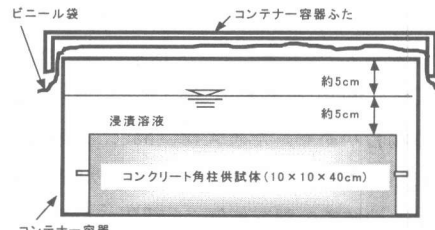


図-1 コンクリート角柱供試体の浸漬貯蔵の概要

貯蔵 500 日での膨張率の比較を示す。アルカリ量 3kg/m<sup>3</sup>では、KOH, Na<sub>2</sub>SO<sub>4</sub>, NaOH 溶液浸漬は貯蔵 200~300 日で膨張率 0.1%以上を示し、湿潤貯蔵よりも大きな膨張率となっている。アルカリ量 6kg/m<sup>3</sup>では、貯蔵 500 日においてすべての貯蔵状態で 0.1%以上の膨張を示している。湿潤貯蔵よりも膨張率が高いものは順番に NaCl, Na<sub>2</sub>SO<sub>4</sub>, 水道水, KOH, NaOH である。浸漬溶液別で、NaCl, 水道水, 人工海水, KOH および NaOH 溶液は、貯蔵 60 日から膨張を開始しており、浸漬溶液による影響が早くから現れている。また、Na<sub>2</sub>SO<sub>4</sub>, MgSO<sub>4</sub> 溶液は貯蔵 100 日付近から膨張を開始している。このうち Na<sub>2</sub>SO<sub>4</sub> 溶液は膨張の増加が著しく、貯蔵 500 日で膨張率は 0.49%であり、NaCl 溶液浸漬について大きい。同様に 9kg/m<sup>3</sup>において湿潤貯蔵よりも膨張率が高いものは、Na<sub>2</sub>SO<sub>4</sub>, NaCl, KOH, 人工海水, NaOH, CaCl<sub>2</sub>, MgSO<sub>4</sub>, 水道水である。浸漬溶液別の膨張挙動は、NaCl, 水道水, 人工海水, NaOH, KOH 溶液浸漬が

貯蔵 40 日付近から、その他は貯蔵 50 日付近から膨張が開始している。 $\text{Na}_2\text{SO}_4$  溶液は、アルカリ量  $6\text{ kg/m}^3$  の場合と同様に膨張が著しく、貯蔵 500 日で膨張率  $0.72\%$  であり最も高い膨張を示している。これらのことから、アルカリ量が低い場合 ( $3\text{ kg/m}^3$ ) では KOH, NaOH 溶液の影響が大きく、アルカリ量が高い場合 ( $6, 9\text{ kg/m}^3$ ) では  $\text{Na}_2\text{SO}_4, \text{NaCl}$  溶液の影響が大きい。また、早い時期から膨張を示す浸漬溶液は、 $\text{NaCl}$  溶液、水道水、人工海水、 $\text{NaOH}, \text{KOH}$  溶液の順である。 $\text{Na}_2\text{SO}_4$  溶液は、他の浸漬溶液よりも膨張開始時期が遅れるが、膨張し始めると長期にわたって膨張が継続するようである。しかし、貯蔵 360 日付近でアルカリ量の高い  $6\text{ kg/m}^3$  や  $9\text{ kg/m}^3$  では貯蔵 400 日付近から膨張が収束傾向を示している。

### 3.2 各種溶液に浸漬したチャート使

#### 用コンクリート角柱の超音波伝播速度

図-4 にコンクリート角柱の超音波伝播速度の結果を示す。図では測定した超音波速度を貯蔵 7 日 (浸漬貯蔵開始時) を 100% として相対速度変化率で示した。膨張率との対応は、アルカリ量  $3\text{ kg/m}^3$  では膨張が貯蔵 200 日付近から増加しているのに伴って超音波伝播速度の相対変化率も 200 日付近から減少しており、膨張とほぼ同じ時期に変化している。アルカリ量  $6\text{ kg/m}^3$  では貯蔵 60 日付近から膨張率が増加しているが、超音波速度の相対速度変化率は 100 日付近から減少している。同様にアルカリ量  $9\text{ kg/m}^3$  は、膨張率の増加から約 40 日遅れて減少傾向を示している。またアルカリ量  $6\text{ kg/m}^3$  や  $9\text{ kg/m}^3$  では、貯蔵 100~200 日付近で膨張が収束傾向を示すと超音波伝播速度も変化しなくなる。既往の実験結果では、湿潤貯蔵したコンクリート供試体の膨張挙動と超音波伝播速度の相対速度変化率の関係は、膨張率が増加する時期と相対速度変化率の減少する時期は

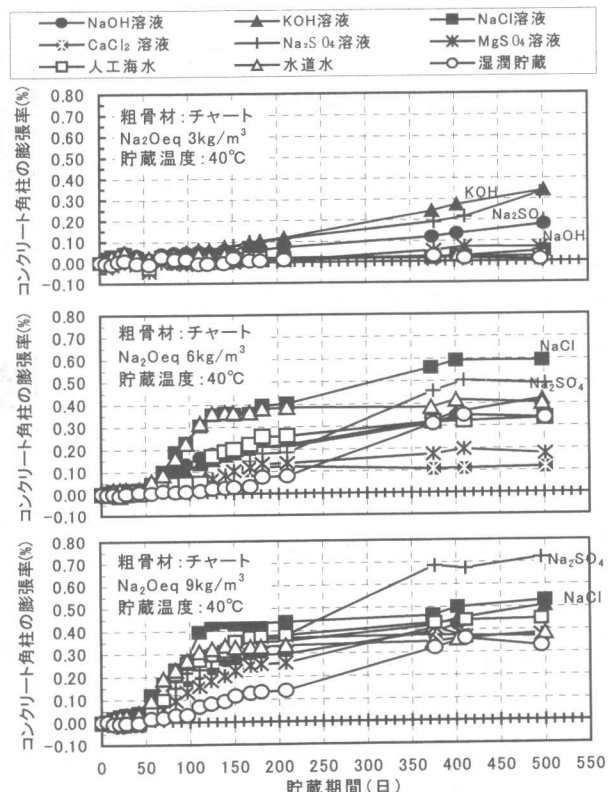


図-2 各種溶液に浸漬したチャート使用コンクリート角柱の膨張挙動

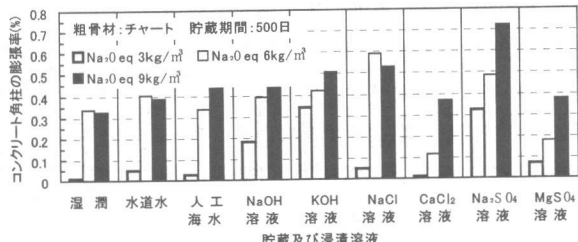


図-3 各種溶液に浸漬したチャート使用コンクリート角柱の貯蔵 500 日での膨張率

一致している<sup>3)</sup>が、本実験の浸漬貯蔵ではアルカリ量が高い場合 ( $6, 9\text{ kg/m}^3$ ) では膨張率の増加時期から 40~50 日遅れて相対速度変化率が減少している。これは、浸漬溶液によって生成する反応性物質が、コンクリート内部の初期のひび割れに充填したために伝播速度の低下時期が遅れたと思われる。

### 3.3 各種溶液に浸漬したカレット混入

#### コンクリート角柱供試体の膨張挙動

図-5にカレットを混入したコンクリート角柱の膨張挙動を、図-6に貯蔵455日の膨張率を示す。図-5では貯蔵300日以降から膨張を示しており、チャートと比較して膨張を開始する時期が遅くなっている。既往のモルタルバーによる実験結果では、40℃では30~50日から膨張を開始している<sup>4)</sup>。このことは本実験の貯蔵温度が10~30℃の実験室内で比較的温度が低いことにその原因であると考えられる。貯蔵455日の膨張率は、Na<sub>2</sub>SO<sub>4</sub>、人工海水、NaCl、水道水の浸漬貯蔵が湿潤貯蔵よりも大きな膨張を示している。前述したチャートのアルカリ量3kg/m<sup>3</sup>の場合と比較すると、逆にKOH、NaOH溶液では膨張は少なくなっている。このことは、チャートには未反応のシリカが十分にあり、外部からアルカリが供給されることによってさらに反応生成物が生成されて膨張が継続する。しかし、カレットではアルカリの浸入によって生成したゲルのSiO<sub>2</sub>/Na<sub>2</sub>Oの比率が3.2よりも小さくなり、ゲルの粘性や剛性が低くなつて膨張力が弱まるからである<sup>2)</sup>と考えられる。またNa<sub>2</sub>SO<sub>4</sub>、NaCl溶液、人工海水の浸漬貯蔵が膨張する原因としては、ASR以外の要因としては、硫酸イオンによるエトリンガイトの生成や、塩素イオンによるフリーデル氏塩の生成などがX線回折(後述の表-5参照)によって認められており、これらも一因と考えられる。

### 3.4 各種溶液に浸漬したコンクリート角柱供試体の高炉水碎スラグ粉末による膨張抑制効果

図-7に各種溶液に浸漬したチャート使用コンクリート角柱の高炉スラグによる膨張抑制効果を示す。アルカリ量3kg/m<sup>3</sup>および6kg/m<sup>3</sup>の高炉スラグ混入では膨張率はいずれも0.1%以下となっている。また9kg/m<sup>3</sup>では、アルカリ量が多いことから高炉スラグを混入してもNaOH、KOH溶液浸漬で膨張率は0.2%となっている。高炉スラグ混入による膨張抑制率は、

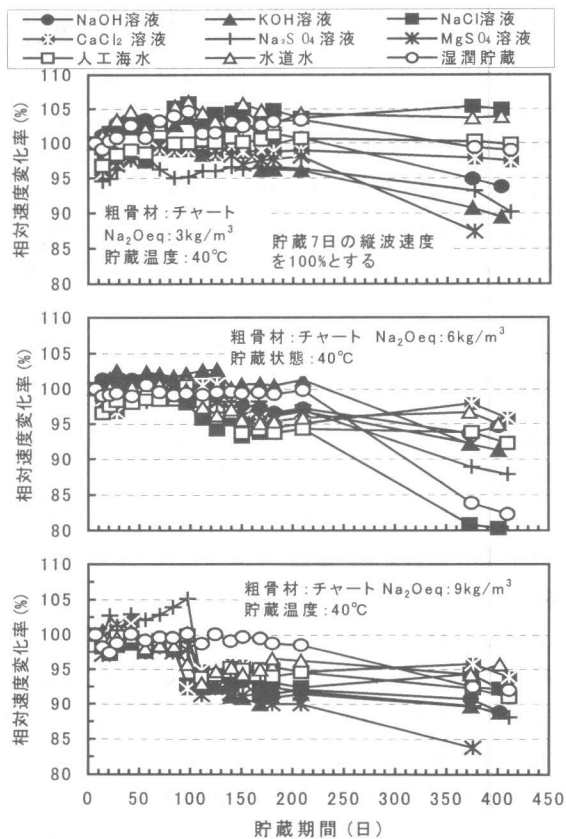


図-4 各種溶液に浸漬したチャート使用コンクリート角柱の超音波伝播速度の相対変化率

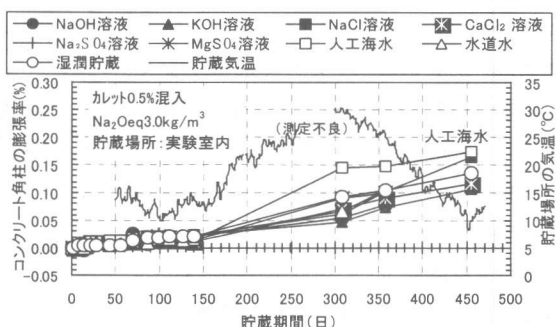


図-5 各種溶液に浸漬したカレット混入コンクリート角柱の膨張挙動

Na<sub>2</sub>SO<sub>4</sub>溶液浸漬が109~84%であり、NaOH、KOH溶液よりも抑制効果が高くなっている。図-8にカレット混入コンクリート角柱の高炉スラグによる膨張抑制効果を示す。普通ポルトランドセメント使用での膨張率が小さいことから、高炉スラグ混入による膨張率も0.07~0.03%と小さ

くなっている。膨張抑制率は高いものから順に、 $\text{NaCl}$ (75%)、人工海水(72%)、 $\text{NaOH}$ (65%)、 $\text{CaCl}_2$ (65%)、 $\text{Na}_2\text{SO}_4$ (65%)、水道水(65%)、湿潤貯蔵(64%)、 $\text{KOH}$ (36%)、 $\text{MgSO}_4$ 溶液(29%)である。チャートの場合と同様に  $\text{KOH}$  溶液の抑制効果が低くなってしまっており、浸漬溶液の種類によって差がある。これらのことから、高炉水碎スラグはすべての浸漬貯蔵で抑制効果がみられており、既往のモルタルバーによる実験結果<sup>4)</sup>と同様であった。

### 3.5 各種溶液に浸漬したコンクリート角柱 供試体のひび割れ状況とX線回折分析

表-4に各種溶液に浸漬したコンクリート角柱供試体のひび割れと表面の生成物の観察結果を示す。チャートを使用した供試体は貯蔵500日、カレットを混入したものは貯蔵455日での観察である。チャートを使用した供試体では、ひび割れは  $\text{NaOH}$ 、 $\text{NaCl}$  溶液、水道水浸漬で多くみられた。人工海水浸漬では生成物が供試体の広範囲にわたってみられたが、ひび割れは他に較べて少なかった。また  $\text{Na}_2\text{SO}_4$  溶液浸漬では、膨張率は非常に大きいがひび割れや生成物は少なかった。カレット混入供試体では、膨張率の小さい  $\text{NaOH}$ 、 $\text{KOH}$  溶液浸漬以外でひび割れがみられている。これらから、チャートとカレットの反応の違いや浸漬溶液の違いによって、反応生成物の粘性や剛性が異なることが、膨張やひび割れの程度に影響していると考えられる。

表-5に貯蔵500日のチャート使用コンクリート角柱の表面から深さ1cm付近のペースト部分のX線回折結果を示す。膨張性物質のエトリンガイトは  $\text{Na}_2\text{SO}_4$ 、 $\text{MgSO}_4$ 、 $\text{CaCl}_2$ 、人工海水浸漬で確認され、石こうは  $\text{MgSO}_4$ 、 $\text{Na}_2\text{SO}_4$  溶液浸漬で確認された。またフリーデル氏塩は  $\text{CaCl}_2$ 、 $\text{NaCl}$ 、人工海水浸漬で確認された。これらから、前述のコンクリート角柱の膨張挙動では、 $\text{Na}_2\text{SO}_4$  溶液浸漬でコンクリート内部のアルカリ量が高い場合に急激な膨張を示しており、川村ら<sup>5)</sup>の研究と同様にこ

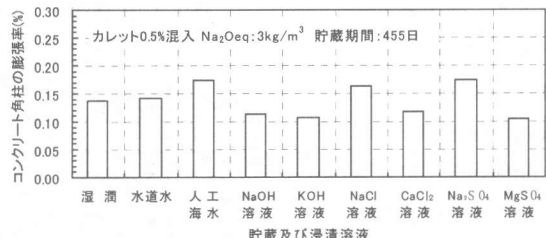


図-6 各種容積に浸漬したカレット混入コンクリート角柱の貯蔵455日での膨張率

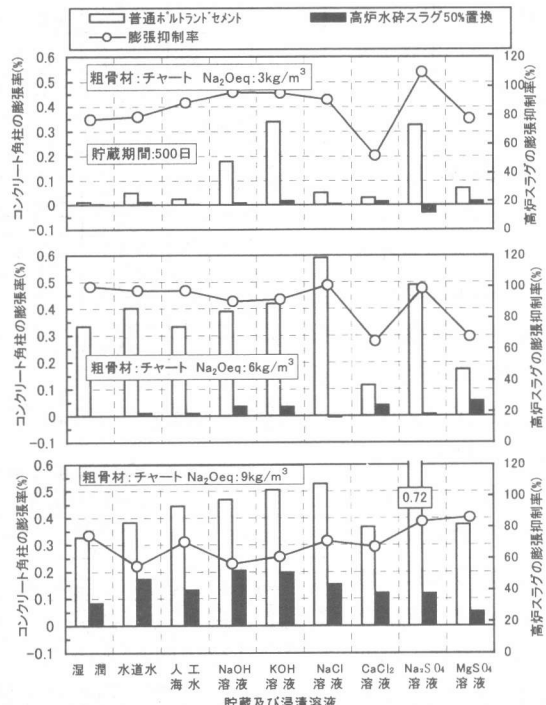


図-7 各種溶液に浸漬したチャート使用コンクリート角柱の高炉スラグによる膨張抑制効果

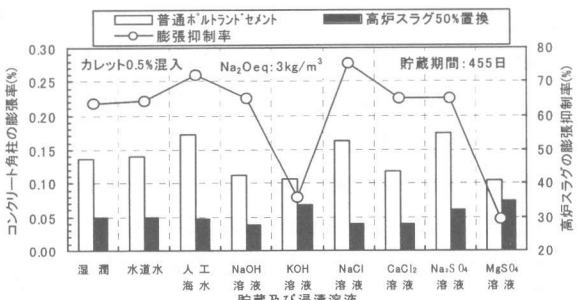


図-8 各種溶液に浸漬したカレット混入コンクリート角柱の高炉スラグによる膨張抑制効果

の一部にはエトリンガイトの影響も含んでいると思われる。また  $\text{MgSO}_4$  溶液浸漬では、いずれの

アルカリ量でもスケーリング状の表面剥離をしており、他の浸漬溶液のひび割れと形態が異っていることやX線回折の結果などから、ASRよりもMgSO<sub>4</sub>溶液によるエトリンガイトの生成などの影響が大きいと思われる。

#### 4.まとめ

反応性骨材混入コンクリート角柱供試体を各種溶液に浸漬貯蔵し、貯蔵500日までに得られた結果をまとめると以下のようである。

(1)チャートを使用したコンクリートの膨張は、アルカリ量が低い場合(3kg/m<sup>3</sup>)はKOH溶液、NaOH溶液浸漬で膨張が著しく、アルカリ量が

高い場合(6kg/m<sup>3</sup>および9kg/m<sup>3</sup>)はNa<sub>2</sub>SO<sub>4</sub>溶液、NaCl溶液浸漬で膨張が著しい。

(2)浸漬貯蔵した供試体の超音波伝播速度の低下時期は、アルカリ量が高い場合では膨張の増加時期よりも40~50日遅れて現れた。

(3)高炉水砕スラグ粉末は、コンクリートにおいても外部から浸入するNa<sub>2</sub>SO<sub>4</sub>溶液、NaCl溶液、人工海水等に対して顕著な膨張抑制効果がある。

#### 謝辞

本研究の一部は、財団法人日東学術振興財团(The Nitto Foundation)の助成金で行ったものである。ここに謝意を表します。

#### 参考文献

1)野田幹夫・小川健・小柳治・川村満紀:凍結防止

表-4 各種溶液に浸漬したコンクリート角柱供試体のひび割れおよび反応生成物の観察結果

貯蔵状態	観察項目	チャート使用コンクリートのひび割れ、生成物、膨張率(貯蔵500日)						カレット混入コンクリートのひび割れ、生成物、膨張率(貯蔵450日)	
		普通ポルトランドセメント			高炉スラグ50%置換			普通ポルトランドセメント	高炉スラグ50%置換
アルカリ量(Na <sub>2</sub> Oeq kg/m <sup>3</sup> )		3	6	9	3	6	9	3	3
湿潤貯蔵	ひび割れ	-	*	*	-	-	-	*	-
	生成物	-	-	-	-	-	-	-	-
	膨張率(%)	0.011	0.335	0.327	0.003	0.000	0.083	0.136	0.049
浸漬貯蔵	水道水	ひび割れ	-	***	***	-	-	*	-
	生成物	-	■	■■	-	-	-	■	-
	膨張率(%)	0.050	0.402	0.384	0.011	0.011	0.173	0.140	0.050
	人工海水	ひび割れ	-	**	*	-	-	*	*
	生成物	-	■■	■■■	-	-	-	■■	■■
	膨張率(%)	0.025	0.334	0.446	0.003	0.009	0.132	0.173	0.048
	NaOH溶液	ひび割れ	*	**	***	-	-	-	-
	生成物	-	-	-	-	-	-	■■	■■
	膨張率(%)	0.180	0.390	0.470	0.007	0.037	0.204	0.112	0.039
KOH溶液	ひび割れ	*	-	**	-	-	*	-	-
	生成物	-	-	-	-	-	-	-	-
	膨張率(%)	0.341	0.419	0.505	0.017	0.035	0.197	0.106	0.068
NaCl溶液	ひび割れ	-	***	***	-	-	*	*	-
	生成物	-	■■	■■	-	-	-	-	-
	膨張率(%)	0.051	0.591	0.528	0.005	-0.005	0.153	0.163	0.040
CaCl <sub>2</sub> 溶液	ひび割れ	-	*	**	-	-	-	*	*
	生成物	-	-	■■	-	-	-	■■	■■
	膨張率(%)	0.030	0.116	0.367	0.014	0.041	0.120	0.117	0.041
Na <sub>2</sub> SO <sub>4</sub> 溶液	ひび割れ	-	*	*	-	-	-	*	*
	生成物	-	■■	■■	-	-	-	■■	■■
	膨張率(%)	0.328	0.488	0.721	-0.031	0.006	0.119	0.174	0.061
MgSO <sub>4</sub> 溶液	ひび割れ	△	△	△	△	△	△	△	△
	生成物	-	-	-	-	-	-	■■	-
	膨張率(%)	0.070	0.175	0.376	0.016	0.056	0.052	0.104	0.073

\*: ひび割れ、■: 生成物、△: スケーリング状の表面剥離でひび割れを若干含む

・ひび割れ、生成物の程度: 多い中少ないと\* \* \*, ■ ■ ■ > \* \* \*, ■ ■ ■ ■ > \* \*, ■ ■ ■ ■ ■ > \*

表-5 各種溶液に浸漬したチャート使用コンクリート角柱供試体のX線回折結果(貯蔵500日)

供試体	同定物質(回折角度2θ)	エトリンガイト、フリーデル氏塩、石こうのピーク高さ								
		湿潤	水道水	人工海水	NaOH	KOH	NaCl	CaCl <sub>2</sub>	Na <sub>2</sub> SO <sub>4</sub>	MgSO <sub>4</sub>
チャート使用 普通ポルトランドセメント 供試体 Na <sub>2</sub> Oeq 9kg/m <sup>3</sup>	エトリンガイト(9.1) フリーデル氏塩(11.2) 石こう(11.7)	-	-	9	-	-	-	14	24	19
高炉スラ グ50% 置換	エトリンガイト(9.1) フリーデル氏塩(11.2) 石こう(11.7)	-	-	11	-	-	20	25	-	-
									43	58
								11	11	-
								36	55	-
										45

・表中の数字は、パックグラウンドからの高さ(mm)を示す。

・試料には標準物質としてLiFを30%混入し回折ピークの高さ補正を行った。

剤散布環境下におけるASRによるコンクリート構造物の損傷状況調査、コンクリート工学、Vol.36, No.9, pp.15-21, 1998.9

2)森野奎二・春名淳介:数々のアルカリ反応性物質を使用したモルタルの膨張とひび割れ、コンクリート工学年次論文集、Vol.13, No.1, pp.735-740, 1991.6

3)皿井剛典・岩月栄治・森野奎二:AARコンクリート供試体の膨張とひび割れの関係、土木学会中部支部研究発表会講演概要集、pp.773-774, 1997.3

4)岩月栄治・森野奎二:各種溶液下におけるアルカリシリカ反応の膨張と抑制効果、第51回セメント技術大会講演概要旨、pp.372-373, 1997.5

5)川村満紀・竹内勝信・杉山彰徳:外部から供給されるNaClがアルカリシリカ反応によるモルタルの膨張に及ぼす影響のメカニズム、土木学会論文集、No.502, V-25, pp.93-102, 1994.11